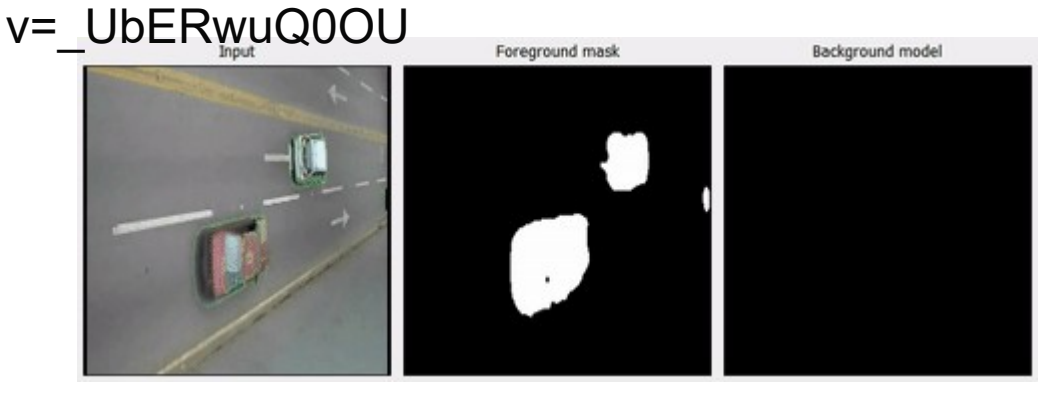
# Détection d'Objets en Mouvement par Suppression du Fond

#### Inspiré des supports de cours de

Thierry Bouwmans, entre autres;)

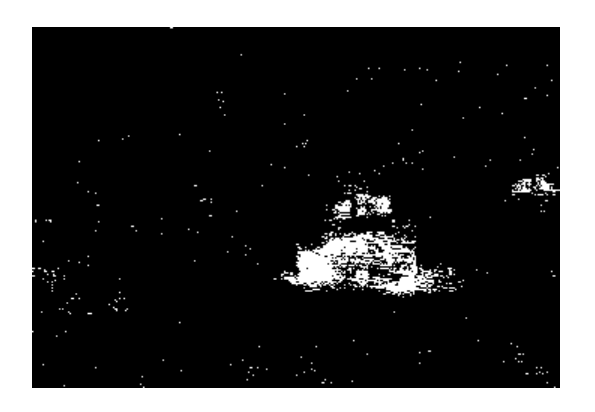
https://www.youtube.com/watch?



## Objectif

Détection d'objets en mouvement dans une vidéo.



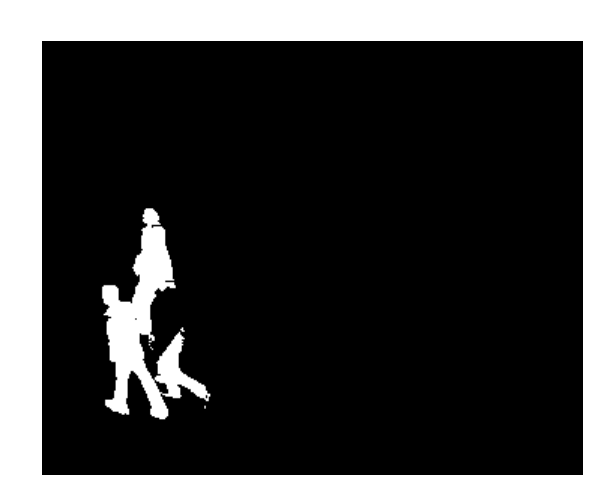


Aucunes connaissances a priori sur le fond et la forme des objets (voitures, personnes, animaux etc.)

Hypothèse à discuter!!

#### Video Surveillance - PETS 2006





La vidéosurveillance des lieux publics extérieurs dans l'objectif de détecter des activités anormales

#### Video Surveillance



La vidéosurveillance de scènes intérieures pour détecter les comportements de vols ou pour optimiser un service en comptant le nombre de personnes par zone ou par rayon dans les magasins pour assurer une bonne répartition des vendeurs selon le besoin

- Video Surveillance

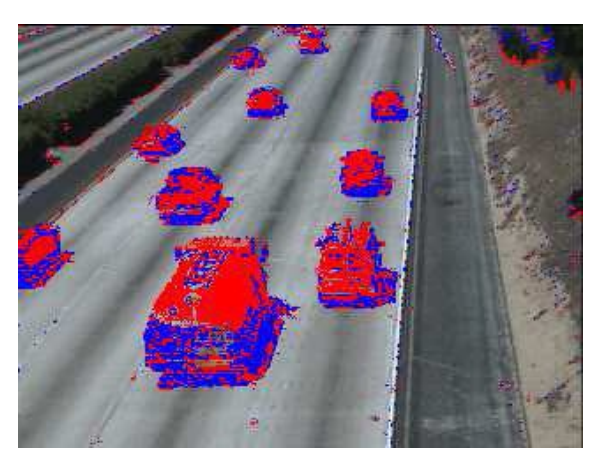




- La vidéosurveillance d'activité portuaire pour compter le nombre de navires

#### Video Surveillance



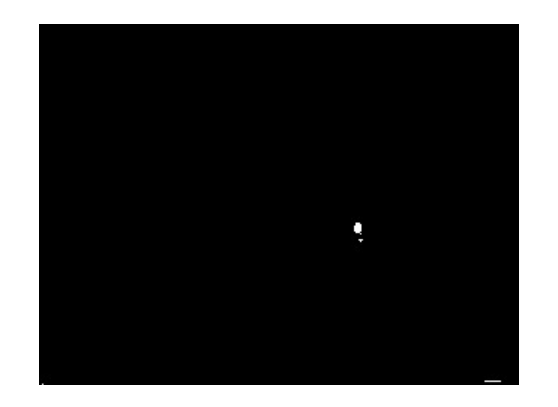


La surveillance du trafic routier pour évaluer le nombre de véhicules ou pour détecter les ralentissements ou les accidents (Projet ATON).

## Applications - Domaine Infra Rouge

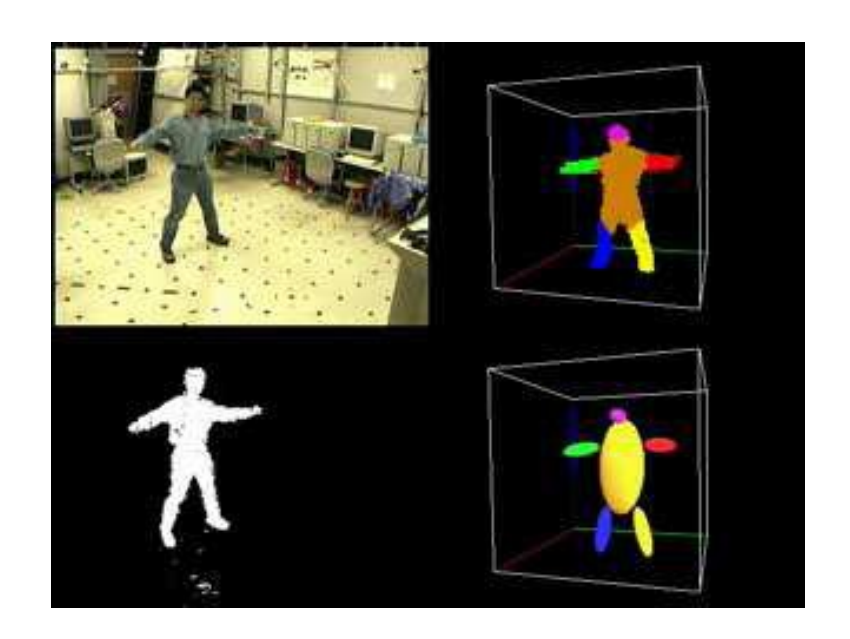
#### Video Surveillance - Terravic





## Applications - Capture du Mouvement

#### Capture de Mouvement



Une bibliothèque avec de nombreux algorithmes :

https://github.com/andrewssobral/bgslibrary

# Les Hypothèses (Fortes)

**Hypothèse 1** : La caméra est fixe et ses caractéristiques le sont également.

*Hypothèse 2* : La scène ne comporte pas de variations lumineuses.

Hypothèse 3: Le fond est visible et statique, c'est-à-dire que les pixels ont une distribution unimodale et qu'il n'y a pas d'objet qui bouge ou qui soit inséré dans la scène au cours du temps.

Hypothèse 4 : Le fond ne contient pas d'objets d'intérêt statiques.

Hypothèse 5 : les objets d'intérêt peuvent être facilement détéctés en seuillant la différence entre l'image courante et l'image du fond.

CS 1 - Image bruitée due à une mauvaise qualité de la caméra.

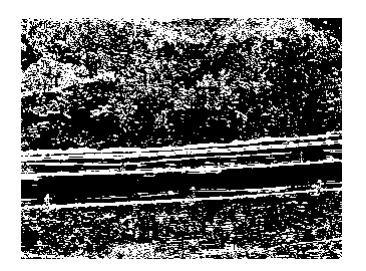




CS 2-1 - Mouvement de la caméra (Vent).







CS 2-2 - Ajustement automatique de la caméra (auto focus, auto white balance, auto exposure correction







CS 3 – Changement lumineux lent (Lumière du jour).









CS 4 - Changement lumineux rapide (Lumiére artificielle on/off







CS 5 – Bootstrapping: Durant la période d'initialisation, le fond n'est pas visible ou très peu.





CS 6 – Camouflage: Un objet en mouvement a la même apparence que le fond.







CS 9 – Insertion d'un objet du fond – Un objet peut être inséré dans la scéne. Cet objet ne doit pas être considéré comme un objet en mouvement.







CS 10 – Mouvement dans le fond: Le fond peut présenter des objets qui ont un mouvement et donc demande un modèle qui peut représenter un ensemble disjoint de pixels.

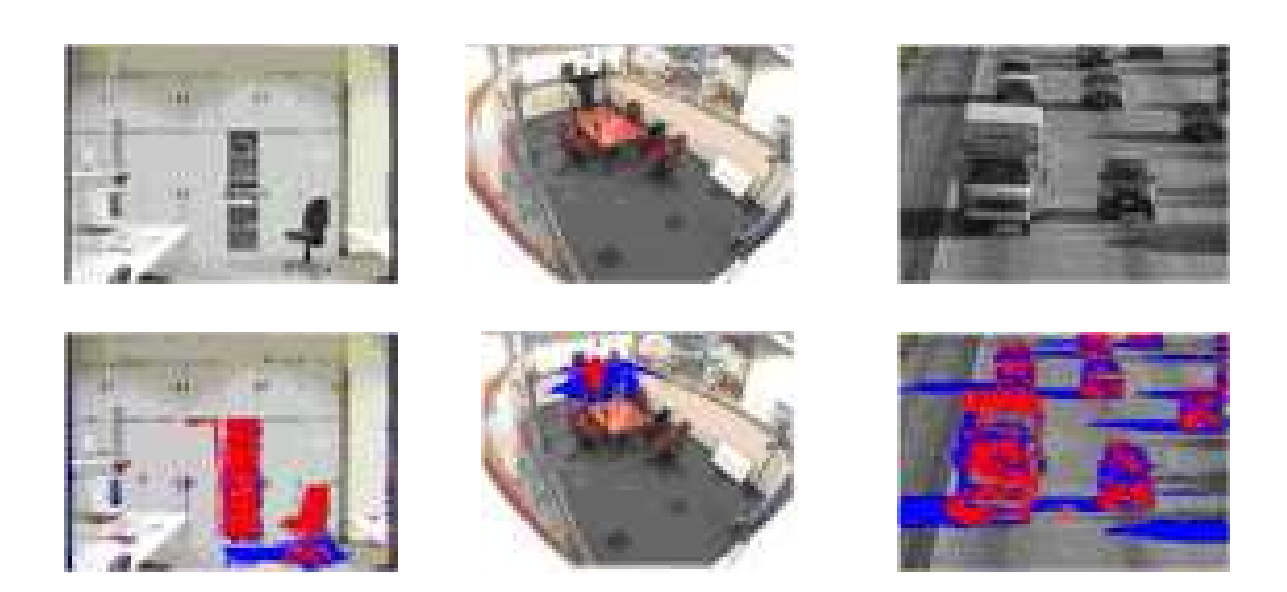


CS 11 – Objet qui commence à se déplacer: Quand un objet commence à se déplacer, à la fois l'objet et la partie du fond révelée sont détéctés.





CS 13 – Ombres: Les ombres ne doivent pas être détectées comme objet en mouvement.



Différentes caractéristiques spatiales et temporelles.

Exemple des variations lumineuses

Caractéristiques Spatiales: Variations lumineuses peuvent être locales ou globales.

Caractéristiques Temporelles: Variations lumineuses peuvent être lentes ou rapides.

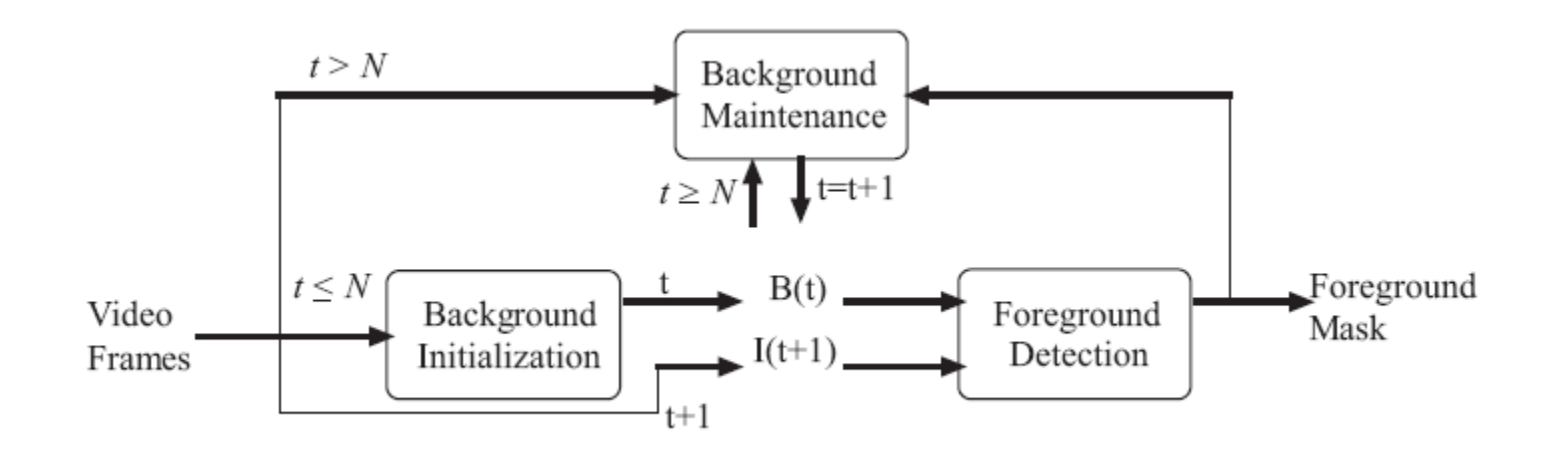
La méthode idéale doit prendre en compte toutes les situations critiques et chacune de leurs caractéristiques spatiales et temporelles.

# Les Différentes Etapes et Choix Clés

#### Représentation du fond

- Initialisation du fond
- Mise à jour du fond
  - → Classification objet en mouvement et fond
    - Choix de la taille de l'élément image
    - Choix de la caractéristique

# Les Différentes Etapes



#### Modèle de l'Initialisation du Fond

L'initialisation du fond détermine la première image avec laquelle on commence le processus

Soit la première image courante Soit une déterminée par un modèle de représentation

#### Modèle de Mise à Jour

- La mise à jour du modèle permet de prendre en compte les changments apparaissant dans la scène.
- Deux mécanismes sont possibles:
  - Mise à jour non selective: Tous les pixels sont mis à jour avec la même régle.
  - Mise à jour selective: Les pixels classés comme actif ou inactif sont mis à jour avec une régle différente.

#### Modèle de Mise à Jour – Non Selectif

Tous les pixels sont mis à jour avec la même régle. Couramment, une moyenne est utilisée:

$$B_{n+1}(x,y) = (1-\alpha)B_n(x,y) + \alpha I_n(x,y)$$

Où  $\alpha$  est le coefficient d'apprentissage

Le choix du coefficient d'apprentissage détermine la vitesse de mise à jour du fond.

#### Modèle de Mise à Jour – Selectif

 La mise à jour est effectuée en utilisant deux régles différentes:

Si le pixel a été classé comme actif

$$B_{n+1}(x,y) = (1-\alpha)B_n(x,y) + \alpha I_n(x,y)$$

Si le pixel a été classé comme passif

$$B_{n+1}(x,y) = (1-\beta)B_n(x,y) + \beta I_n(x,y)$$

• L'idée est de mettre à jour rapidement pour les pixels actifs et lentement les pixels inactifs. Pour cela,  $\beta << \alpha$ 

#### Classification

La classification consiste à décider si le pixel est classé comme Fond ou Objet en mouvement.

Classification - Méthodes de Bases

Les pixels sont classés comme objet en mouvement:

$$|B(x)-I(x)|>T$$

sinon les pixels sont classés comme fond.

#### Classification

Classification - Méthodes Statistiques

Les pixels sont classés comme objet en mouvement:

$$|\mu(x)-I(x)|>k\sigma(x)$$

sinon les pixels sont classés comme fond.

Les pixels sont classés comme objet en mouvement:

sinon les pixels sont classés comme fond.

# Détection d'Objets en Mouvement par Suppression du Fond

Partie 2: Méthodes de Bases

Thierry Bouwmans

#### Méthodes de Bases

Dans la littérature, il existe trois grands types de méthodes de bases:

- Moyenne, Moyenne mobile [Lee 2002]
- Médiane, Médiane approximée [Mc Farlane 1995]
- Histogramme, Fréquence d'apparition, Intervalle stable [Zheng 2006]

Une façon simple pour obtenir le fond est de calculer la moyenne temporelle:

$$B(x, y, t) = \frac{1}{t} \sum_{t=0}^{t'} I(x, y, t')$$

ou de façon récursive,

$$B(x, y, t) = \frac{1}{t}B(x, y, t - 1) + (1 - \frac{1}{t})I(x, y, t)$$

**Inconvénients:** La moyenne à long-terme peut ne pas capturer correctement les variations lumineuses.

Une meilleure façon de capturer un fond sensible aux variations lumineuses lentes est d'utiliser un facteur d'oubli exponentiel:

$$B(x, y, t) = e^{-1/T}B(x, y, t - 1) + (1 - e^{-1/T})I(x, y, t)$$

où T est la période d'observation.

Cela revient à calculer une moyenne courante pondérée:

$$B(x, y, t) = \alpha B(x, y, t-1) + (1-\alpha)I(x, y, t)$$

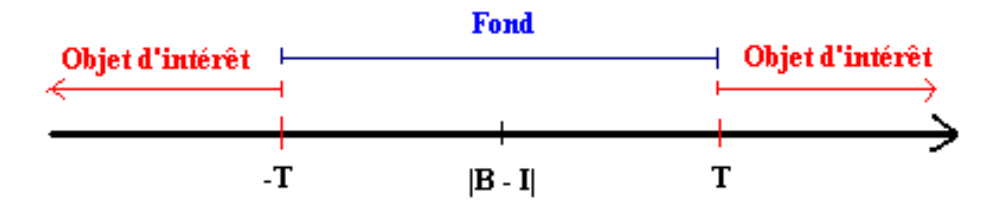
où  $\alpha$  est appelé facteur d'oubli exponentiel ou le facteur d'apprentissage. Sa valeur est comprise entre 0 et 1.

#### **Classification Fond/Objet en mouvement**

Un pixel est considéré comme fond si

$$\left|I_{t+1}(x,y) - B_t(x,y)\right| < T$$

Sinon le pixel est classé en objet en mouvement



**Avantages**: Facile à calculer

**Inconvénients:** Bien que cette méthode soit efficace quand les objets bougent de façon continue, elle n'est pas robuste quand les objets bougent lentement car dans ce cas, ils sont intégrés dans le fond.

# Médiane – Médiane approximée

Une façon plus robuste de modéliser le fond est d'utiliser la médiane:

$$B(x, y, t) = \underset{t' \in \{0, t\}}{median}(I(x, y, t'))$$

Utiliser la médiane présente deux inconvénients majeurs:

- La médiane doit être calculé à chaque instant (Temps de calcul)
- Toutes les frames doivent êtres stockées (Espace mémoire)

# Médiane – Médiane approximée

Médiane approximée [Schofield 1995] :

$$B(x, y, t+1) = B(x, y, t) + 1$$
 if  $B(x, y, t) < I(x, y, t)$ 

$$B(x, y, t+1) = B(x, y, t) - 1$$
 if  $B(x, y, t) > I(x, y, t)$ 

- Autres médianes approximées plus efficaces [Joubert 2004]:
  - Exponentially Weighted Moving Average (EWMA)
  - Stochastic Approximation (SA),
  - Exponentially Weighted Stochastic Approximation (EWSA)
  - New Collapse Output (NCO)

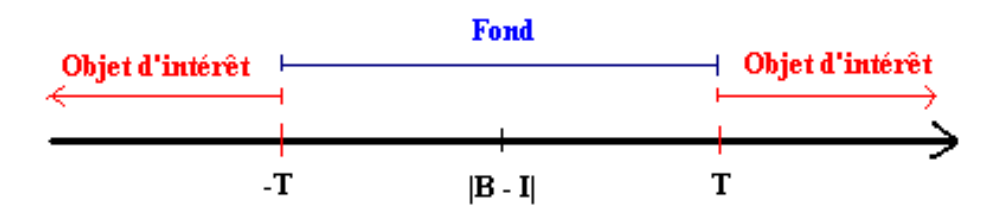
# Médiane – Médiane approximée

#### **Classification Fond/Objet en mouvement**

Un pixel est considéré comme fond si

$$\left|I_{t+1}(x,y) - B_t(x,y)\right| < T$$

Sinon le pixel est classé en objet en mouvement



## Méthodes de Bases

Dans la littérature, il existe trois grands types de méthodes de bases:

- Moyenne, Moyenne courante [Lee 2002]
- Médiane, Médiane approximée [Mc Farlane 1995]
- Histogramme, Fréquence d'apparition, Intervalle stable [Zheng 2006]

# Détection d'Objets en Mouvement par Suppression du Fond

Partie 3: Modéles Statistiques – Première Génération

**Thierry Bouwmans** 

## Modéles Statistiques: Une Gaussienne

Une Seule Gaussienne [Wren 1997]

Initialisation du fond: Oui

Representation du Fond: Une seule Gaussienne

Mise à jour du fond: Oui

**Espace Couleur: YUV** 

#### Modélisation du Fond

[Wren 1997] a développé un algorithme qui modélise un pixel à partir de loi de distribution supposée normale et caractérisée par sa moyenne et sa variance dans l'espace couleur YUV.

## Modélisation par une Gaussienne

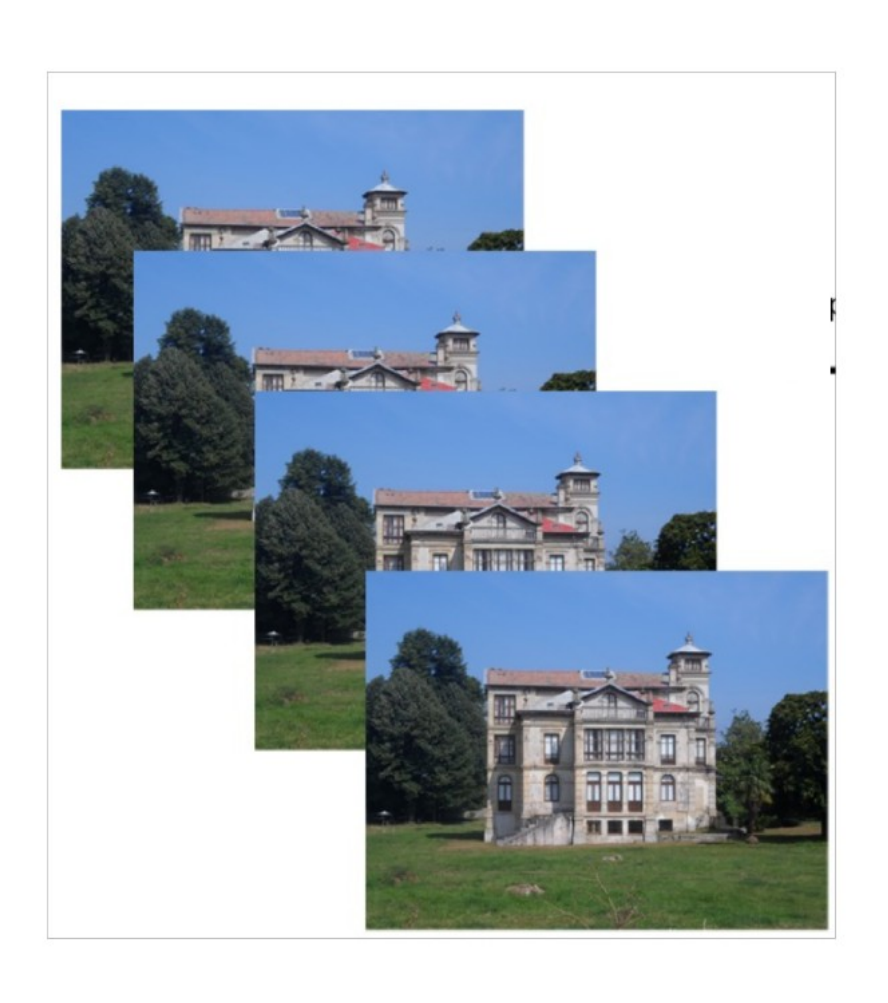
#### Initialisation du Fond

Ce modèle nécessite un nombre t de frames pour calculer la moyenne µ et la variance dans chaque plan couleur:

$$\mu(x,y,t) = \sum_{i=1}^{t} \frac{I(x,y,i)}{t}$$

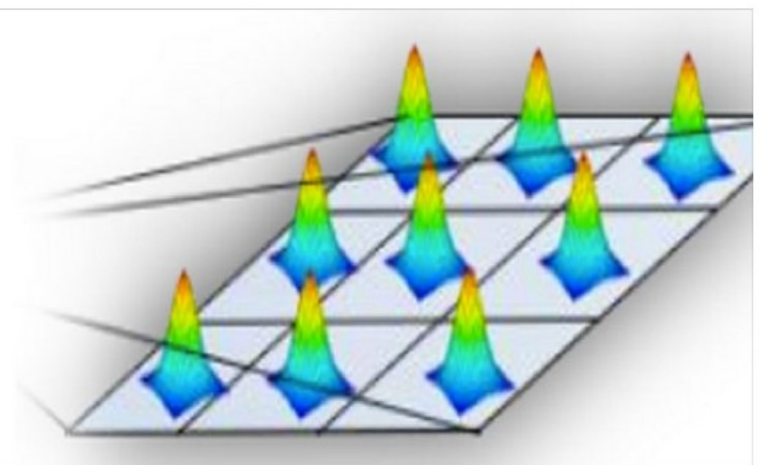
$$\sigma(x,y,t) = \sqrt{\sum_{i=1}^{t} \frac{I^{2}(x,y,i)}{t} - \mu^{2}(x,y,t)}$$

Où I(x, y, i) est l'intensité courante du pixel à la position (x,y) au temps i.









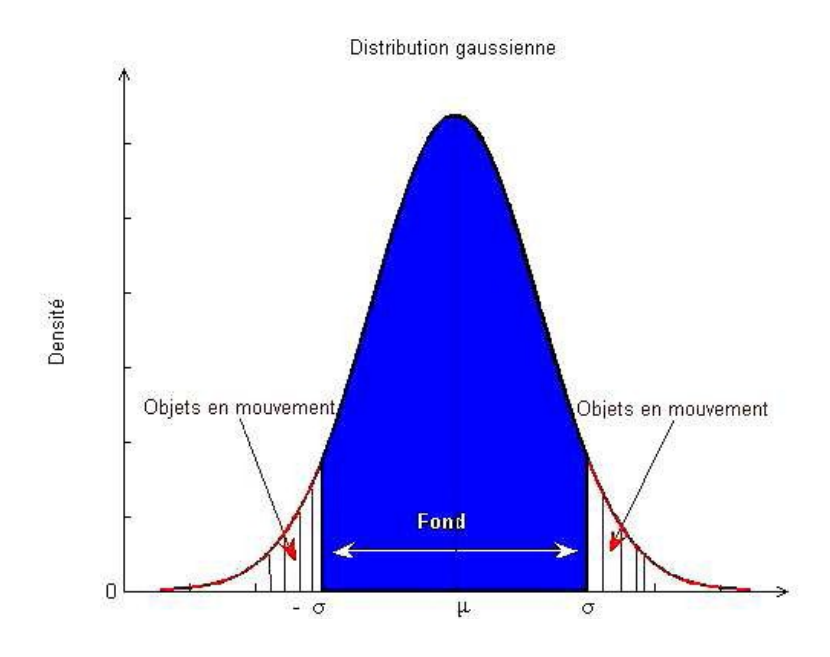
## Modélisation par une Gaussienne

#### Classification

Un pixel est classé comme objet en mouvement si :

$$|\mu(x,y,t)-I(x,y,t)|>c.\sigma(x,y,t)$$

où c est une constante fixe.



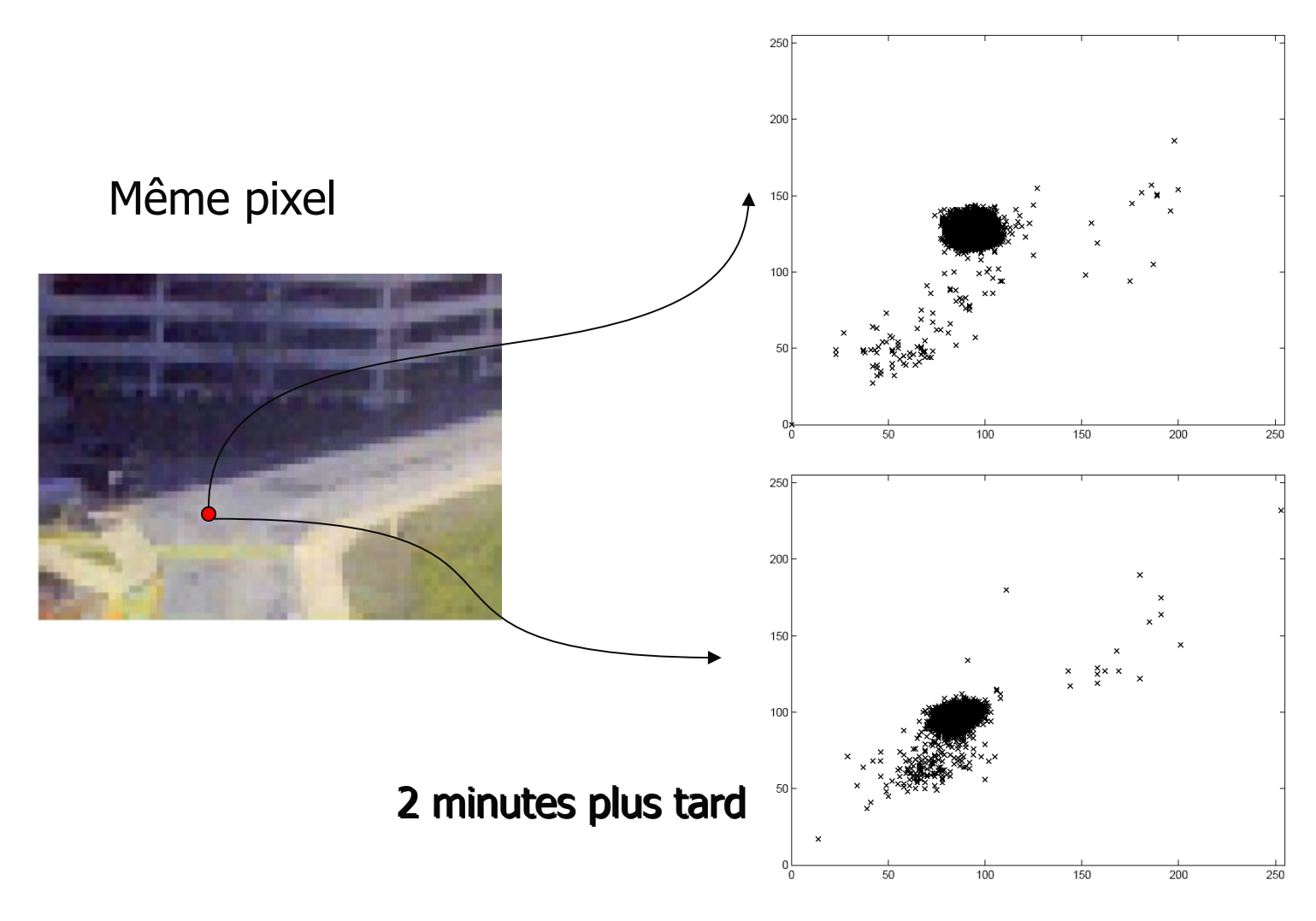
## Modélisation par une Gaussienne

#### Mise à Jour du Fond

$$\mu(x, y, t+1) = (1-\alpha)\mu(x, y, t) + \alpha I(x, y, t+1)$$

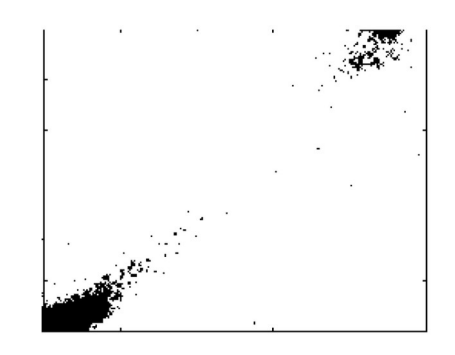
$$\sigma^{2}(x,y,t+1) = (1-\alpha^{2})\sigma^{2}(x,y,t) + \alpha^{2}(I(x,y,t+1) - \mu(x,y,t+1))^{2}$$

## Mélanges de Gaussiennes - Introduction

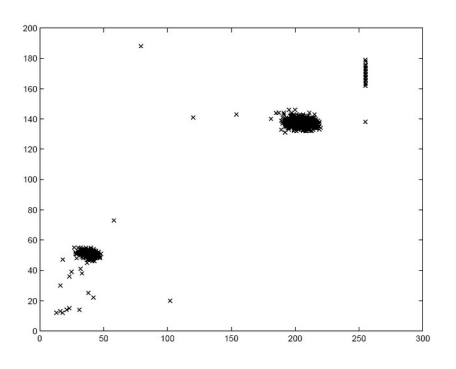


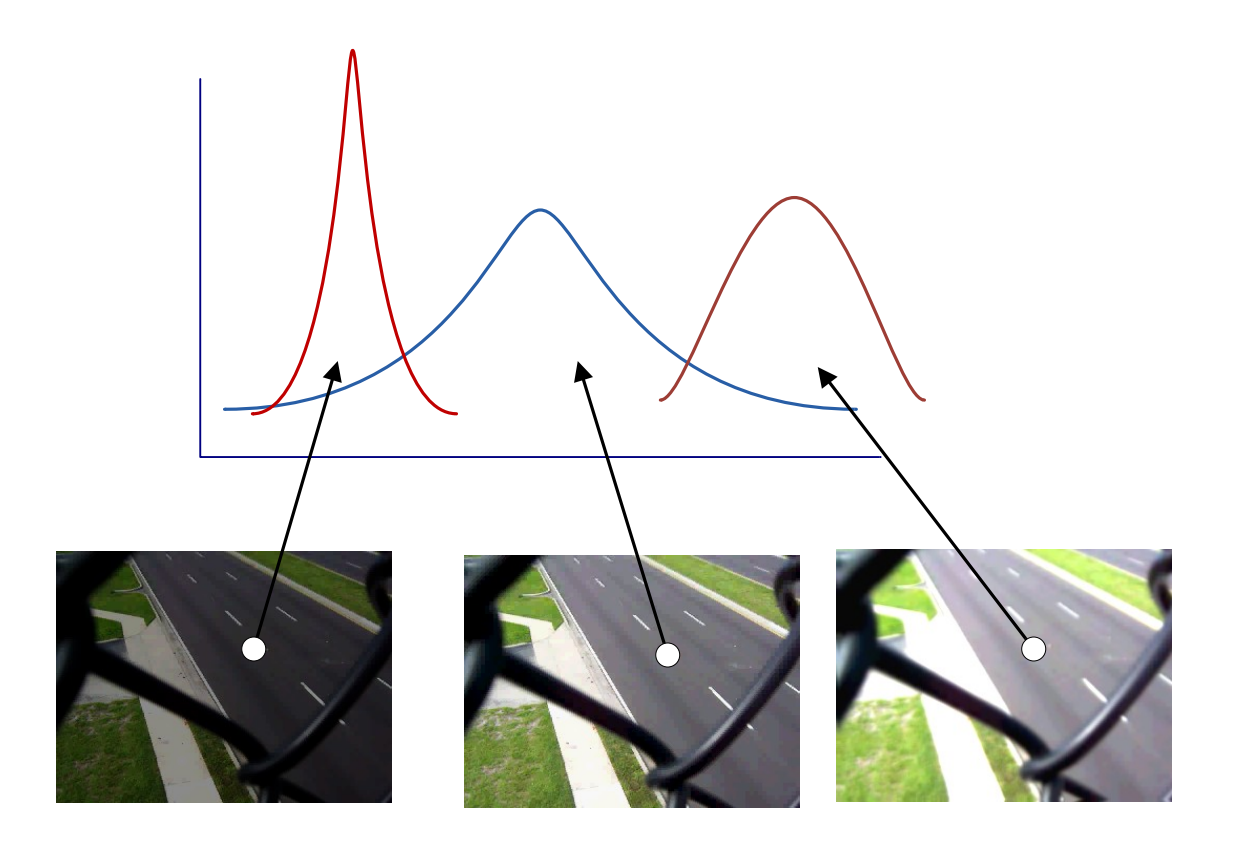
## Mélange de Gaussiennes - Introduction

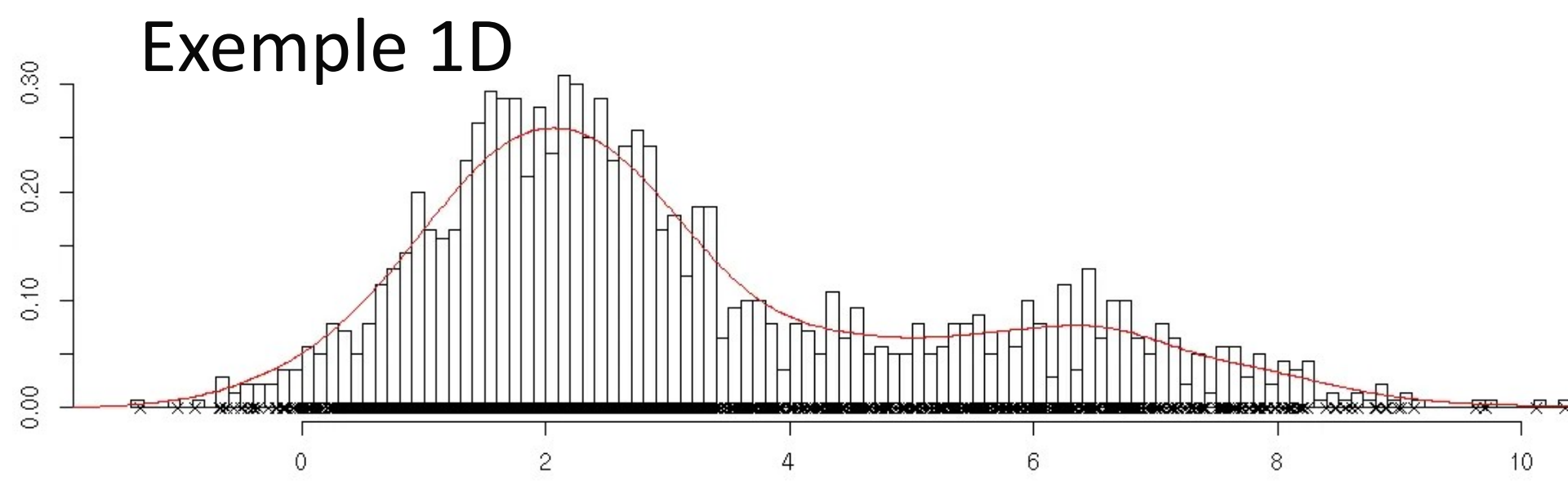




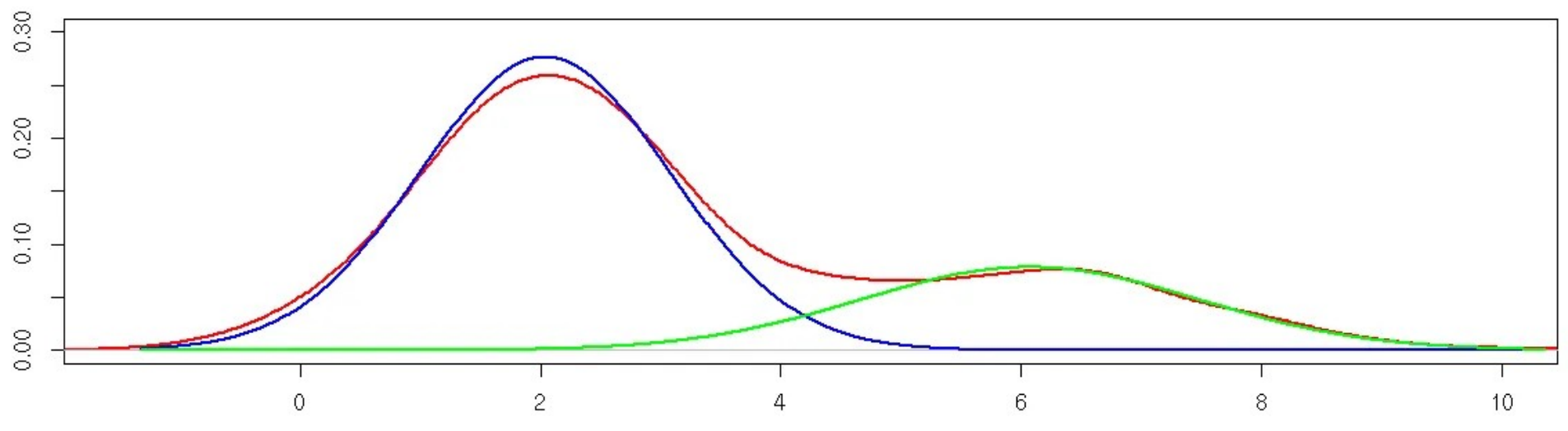








Plutôt que de chercher une loi compliquée on utilise une somme de Gaussiennes (ici 2 mais il peut y en avoir plus : K )



#### Representation du Fond:

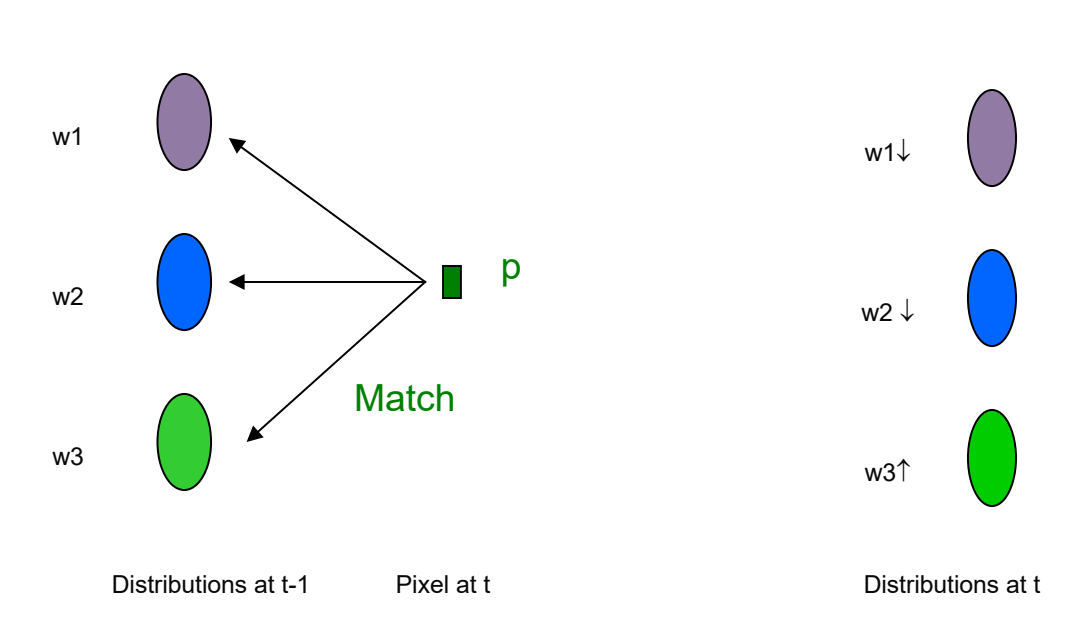
• Chaque pixel (i,j) à l'instant t consiste en K processus modélisés par une Gaussienne.

#### Algorithme:

- Initialisation des paramètres des K Gaussiennes avec un algorithme « EM » à partir d'une séquence d'apprentissage.
- A chaque image courante, pour chaque pixel, on calcule la distance entre ce pixel et chaque K
   Gaussiennes associées à ce pixel.

Cas 1 : Une correspondance est trouvée

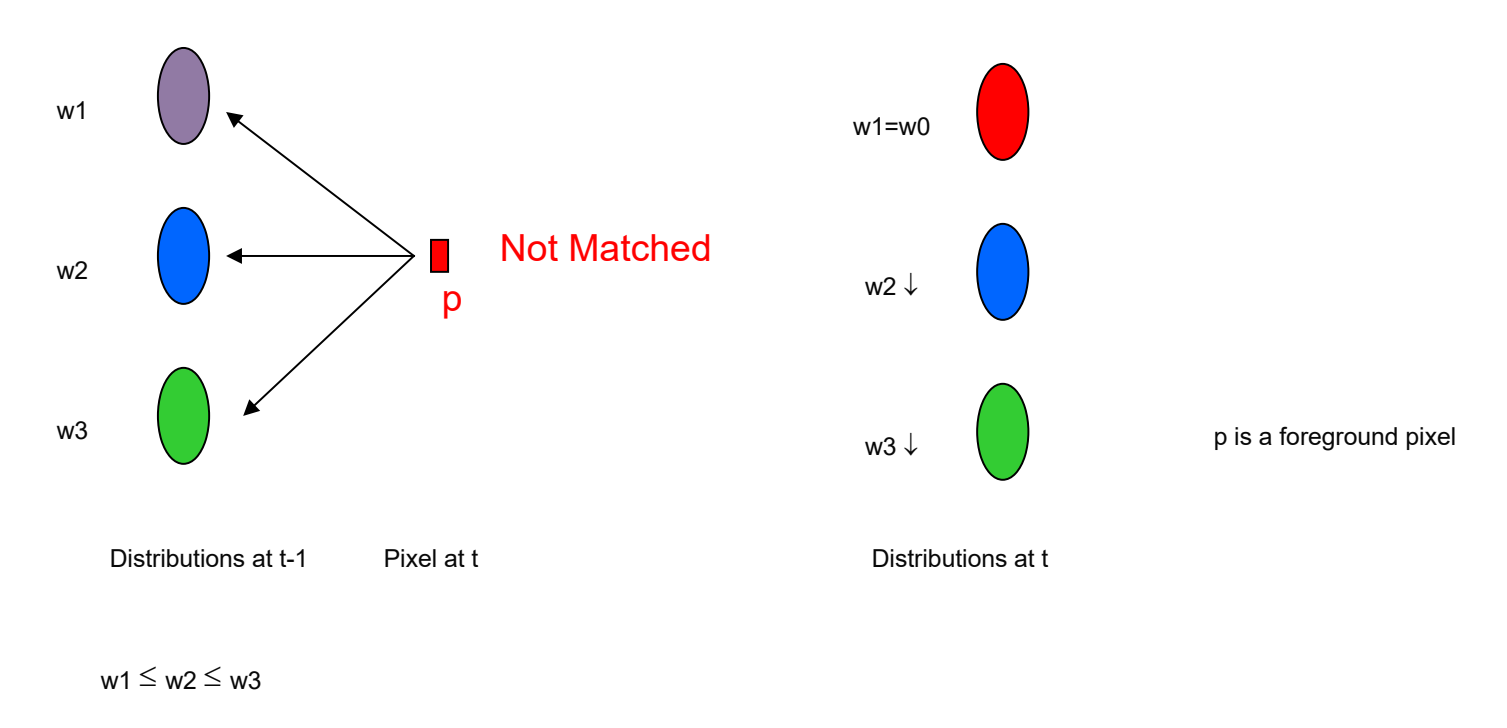
Les poids sont ordonnés (croissants)



p is background pixel if w3 > Threshold

p is foreground pixel otherwise

Cas 2 : Aucune correspondance n'est trouvée



#### Representation du fond

Mixture of Gaussians (MOG) - Gaussians Mixture Model (GMM):

$$\Pr(x_t) = \sum_{i=1}^K \omega_{i,t}.N(x_t; \mu_{i,t}, \sum_{i,t})$$

*K* Nombre de gaussiennes

 $\omega_{i,t}$  Estimation du poids de la i<sup>th</sup> Gaussienne dans le mélange à l'instant t

 $N(x_t; \mu_{i,t}, \Sigma_{i,t})$  Densité gaussienne

#### Densité gaussienne :

$$N(x_{t}; \mu_{i,t}, \Sigma_{i,t}) = \frac{1}{(2\pi)^{\frac{n}{2}} |\Sigma_{i,t}|^{\frac{1}{2}}} e^{-\frac{1}{2}(x_{t} - \mu_{i,t})^{T}(\Sigma_{i,t})^{-1}(x_{t} - \mu_{i,t})}$$

- $x_t$  Vecteur 3x1 valeur RGB du pixel
- $\mu_{i,t}$  Vecteur 3x1 moyenne de la i $^{\text{eme}}$  Gaussienne à l'instant t
- $\sum_{i,t}$  Matrice de covriance 3x3 de la ieme Gaussienne à t

Pour simplifier, la matrice est diagonale :

$$\Sigma_{k,t} = \sigma_k^2 I$$

Ceci correspond à l'hypothèse (fausse ;))d'indépendance entre les 3 canaux (i.i.d.) .

#### Choix des paramètres

K est le nombre de modalité du fond : entre3 to 5.

K souvent choisir en fonction des contraintes de mémoire.

#### Test d'appartenance d'un pixel à une gaussienne

Si la distance de Mahalanobis est inférieure à un seuil :

$$((x_t - \mu_j)^T \cdot \sum_{j=1}^{-1} \cdot (x_t - \mu_j)) < (2.5 \sigma_j)^2$$

Ce seuil n'est pas très sensible et efficace:

- Il s'adapte à chaque gaussienne.
- Utile quand des régions de l'image ont des éclairages différents : les objets dans les zones à l'ombre sont en général moins bruités que dans les zones fortement éclairées (donc les variances sont plus faibles dans le premier cas).
- Si on choisissait un seuil uniforme les objets disparaitraient en entrant dans les zones ombragées.

#### Mise à jour du fond

Pour les gaussiennes qui matchent, la maj est :

$$\mu_{i,t} = (1 - \rho)\mu_{i,t-1} + \rho.x_t$$

$$\sigma_t^2 = (1 - \rho)\sigma_{t-1}^2 + \rho(x_t - \mu_{i,t})^T.(x_t - \mu_{i,t})$$

$$\omega_{i,t} = (1 - \alpha)\omega_{i,t-1} + \alpha$$

avec 
$$\rho = \alpha \aleph (x_t | \mu_k, \sigma_k)$$

Pour les autres, moyennes et variances sont inchangées, seul le poids est diminué :

$$\omega_{j,t} = (1-\alpha)\omega_{j,t-1}$$

Si aucune gaussienne n'est matchée, la moins probable (poids le plus faible) est remplacée par :

$$\mu_{i,t} = x_t$$

$$\sigma_{i,t}^2$$
 = Large variance

$$\omega_{i,t}$$
 = Poids faible

#### Modélisation du fond

SI les K gaussienne sont ordonnées (croissant) selon  $\omega_{\rm i}/\sigma_{\rm i}$ :

Poids maximaux et variances les plus faibles.

les B Gaussiennes qui dépassent un seuil T sont considérées comme le fond :

$$\operatorname{argmin}_{b} \left( \sum_{i=1}^{b} \omega_{i,t} > T \right)$$

T est une mesure de la proportion minimale qui est attribuée au fond.

Permet de retenir les « meilleures » distributions

- Si T est petit on n'utilise, le plus souvent, une seule gaussienne. Permet d'accélérer le calcul mais peu réaliste en général.
- Si T est plus grand, une distribution multimodale causée par un mouvement répétitif du fond peut être pris en compte (ex: feuilles dans des arbres, drapeau au vent, feux clignotants...). Plusieurs couleurs sont donc inclues dans le modèle de fond.

#### **Significations des Parametres**

Signification de K : Nombre de modes du fond.

Signification des poids :

- Proportion des données associées à chaque gaussienne
- Pertinence de la gaussienne dans les image récentes.

#### Avantages:

- Prise en compte des changement lent d'illumination.
- Peut prendre en compte les changements du fond au bout d'un certain temps.
- Si l'initialisation inclus des objets en mouvement, le modèle va se corriger avec le temps.

#### Inconvenients:

- Difficultés avec les changements rapides.
- Si l'initialisation est mauvaise, il faut du temps pour corriger.
- Les ombres restent difficiles à isoler.

https://www.youtube.com/watch? v=qiZ1g65UiCw

Orig [441/500]



Background



Foreground



## Modéles Statistiques – Première Génération

- Gaussienne [Wren 1997]
- Mélange de Gaussiennes [Stauffer 1999]
- Estimation de Densité de Noyau [Elgammal 2000]
- Eigenbackground [Oliver 2000]

## Eigenbackgrounds – Principe

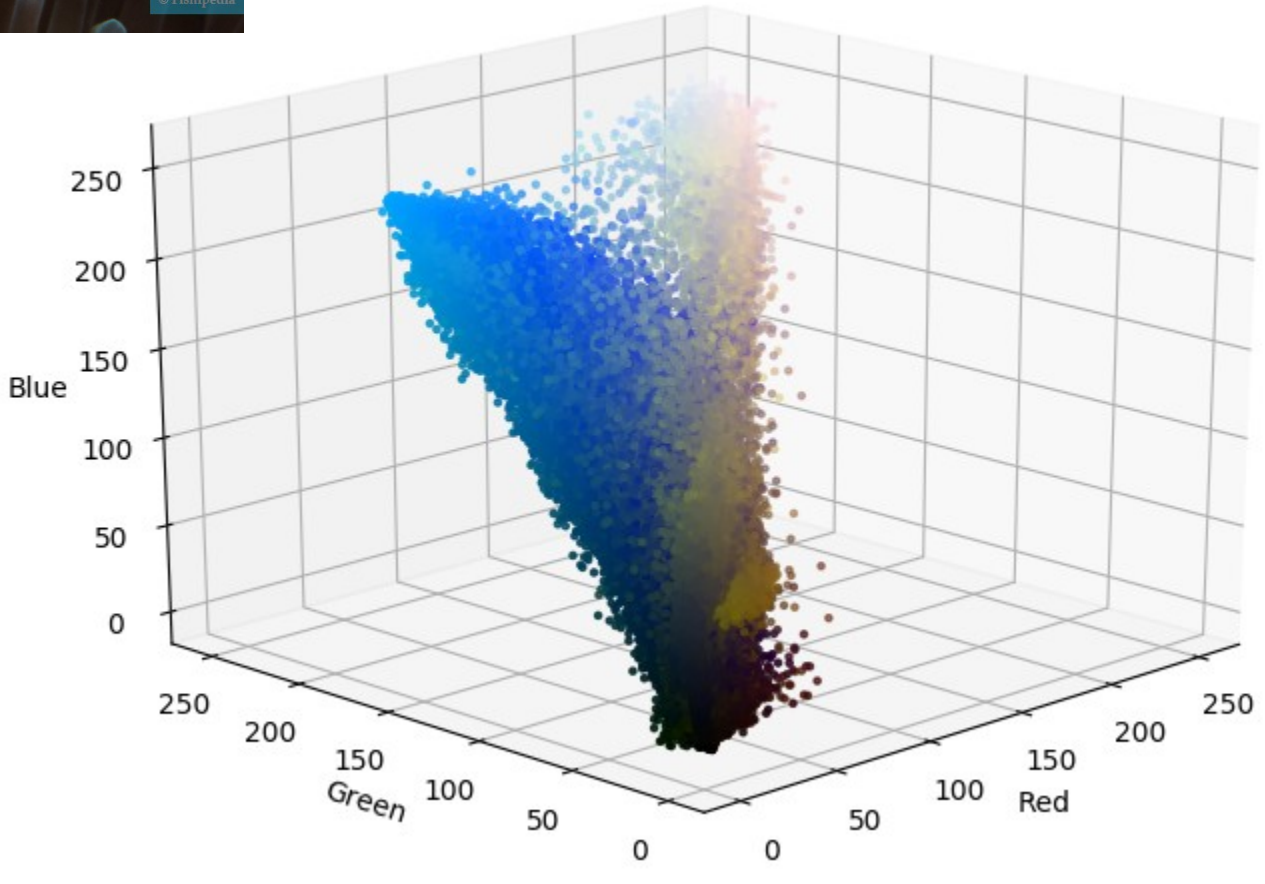
Modélisation du fond à partir des valeurs propres: Oliver et al [Oliver 2000].

#### Representation du fond

On applique une Analyse en Composantes Principale (ACP) sur un jeux d'images d'apprentissage et le fond est représenté par l'image moyenne et p valeurs propres significatives : les eigenbackgrounds.

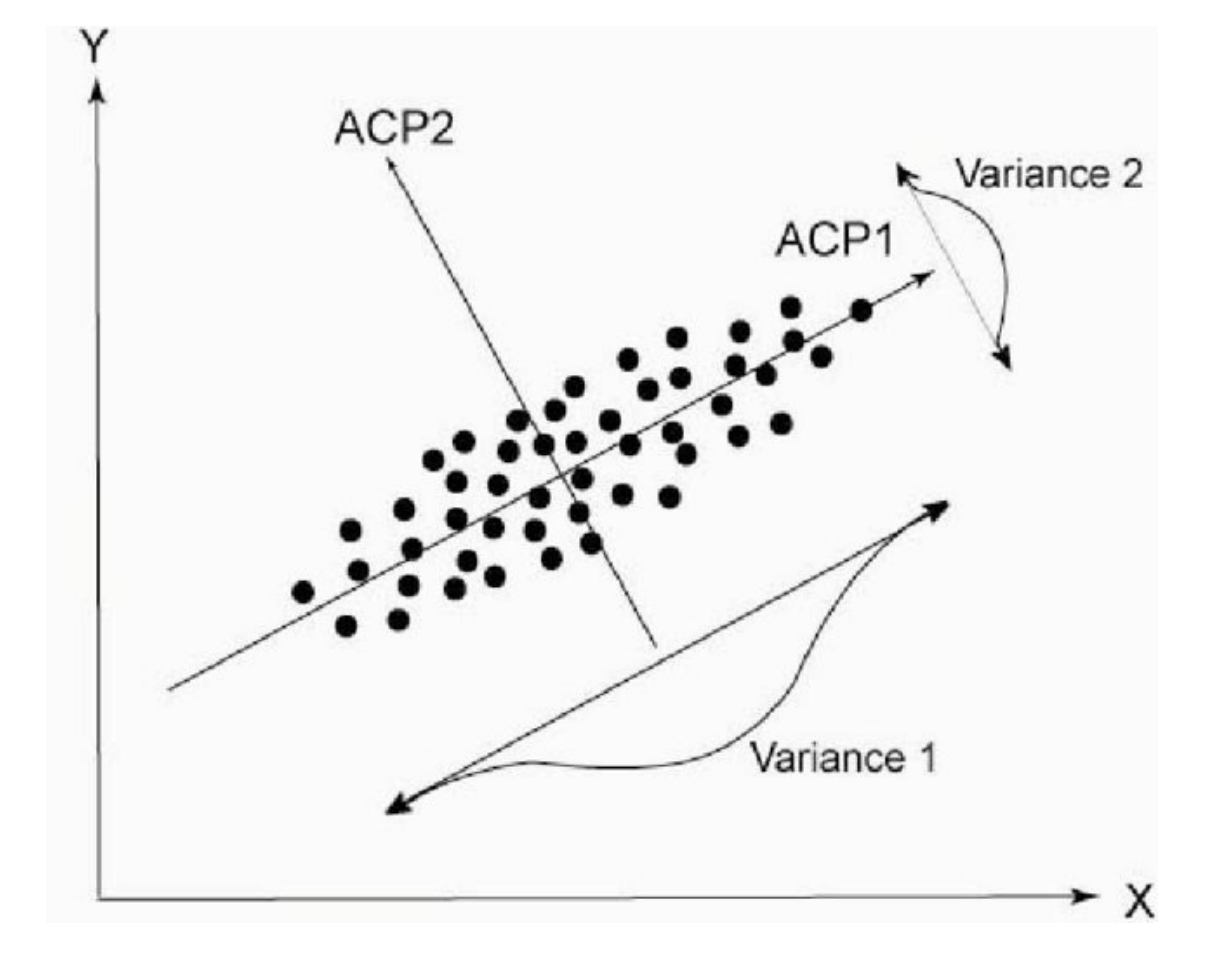
Quand les eigenbackgrounds sont calculés, une image en entrée peut être projeté dans l'espace des eigenbackgrounds, ce qui permet de reconstruire une image de référence.



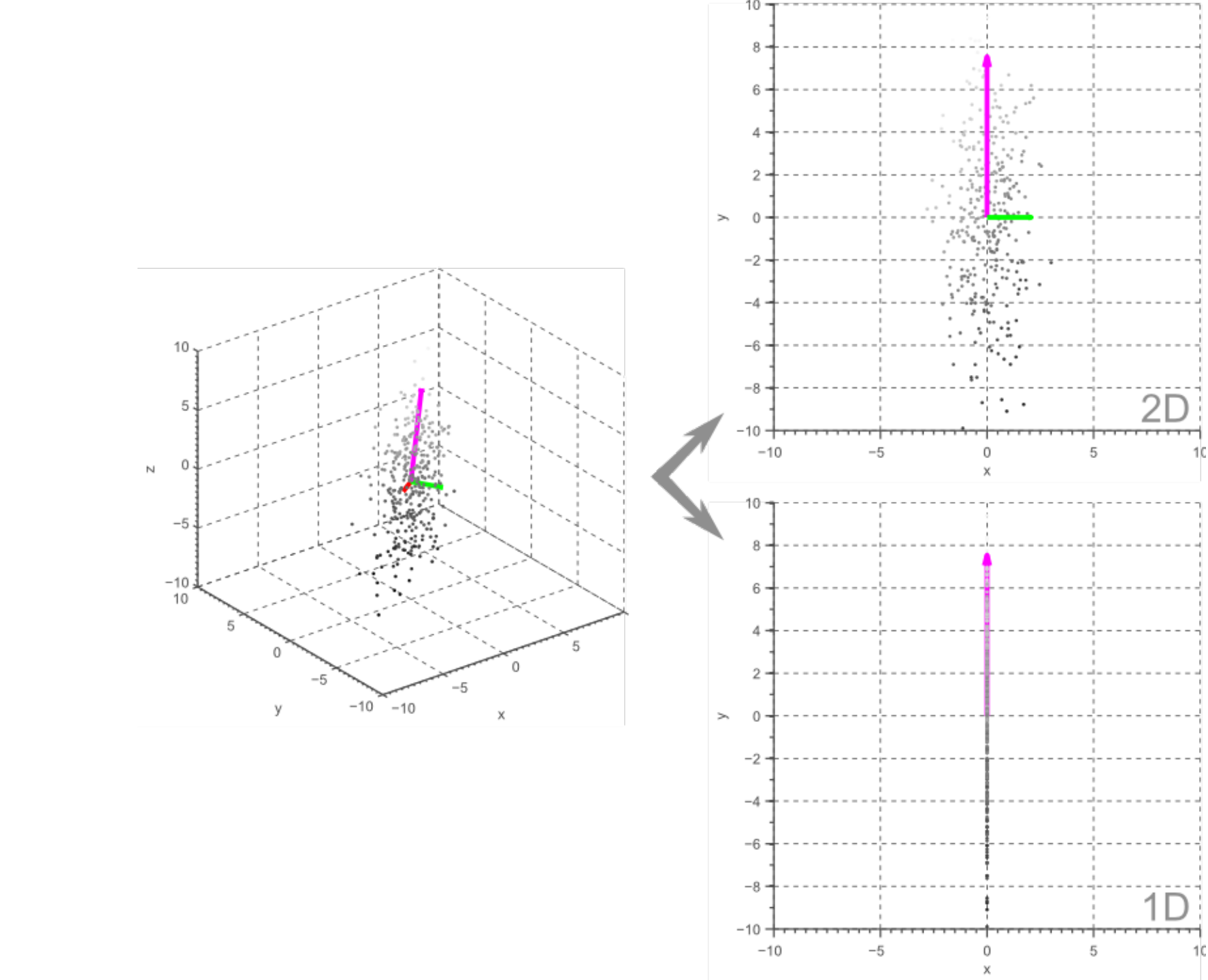


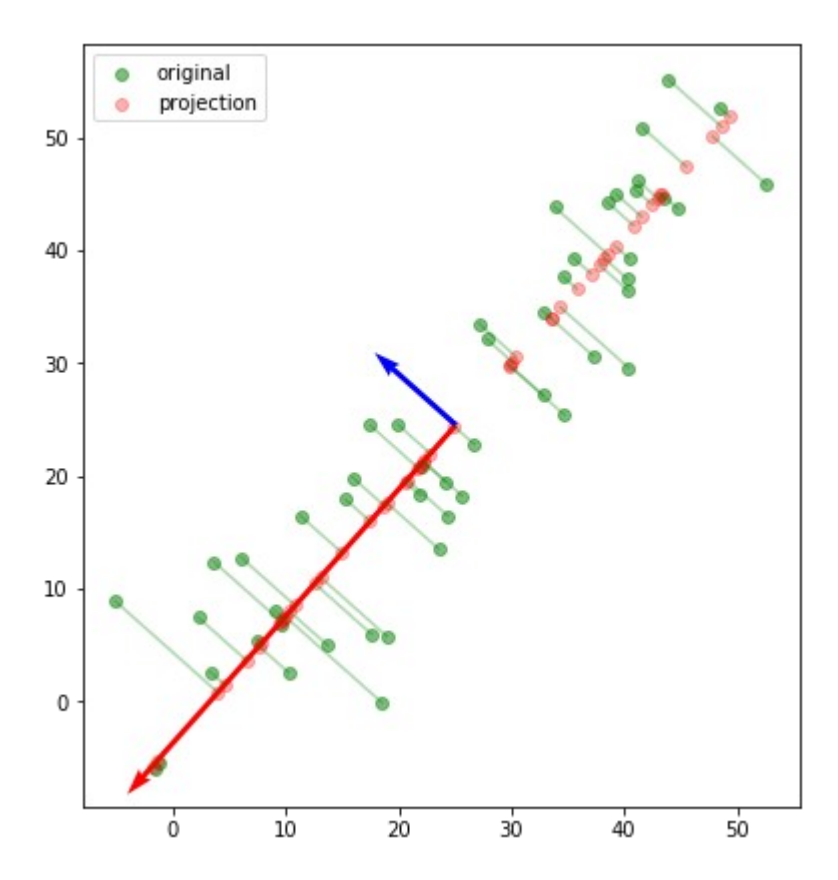
## Analyse en Composantes Principales

(ACP) Vecteurs propres et valeurs propres pour des points 3D échantillonnés selon une loi normale. 3rd En 2D 2nd



« L'ACP va déterminer les deux axes qui expliquent le mieux la dispersion de l'objet, interprété comme un nuage de points. Elle va aussi les ordonner par inertie expliquée, le second axe étant perpendiculaire au premier. » Wikipedia







(a) Une séquence de 200 trames vue comme une succession d'images 2D. (Seules les trames 1, 27, 93, 151 et 200 sont représentées.)



(b) Vue compacte de la même séquence obtenue en empilant toutes les images le long de la troisième dimension.

Fig. 4.1 – Exemple de séquence vidéo avec sa représentation en 2D (a) et volumique (b).

## Eigenbackgrounds – Principe

#### Classification

Les pixels d'avant plan (foreground) sont obtenus en calculant la différence entre l'image donnée en entrée et l'image reconstruite avec un nombre limité de vecteurs propres.

#### **Entrainement**

Les n images d'entrainement sont placées (dépliées ») sous forme de vecteurs colonnes  $\boldsymbol{\gamma}_1, \boldsymbol{\gamma}_2, \boldsymbol{\gamma}_3, ..., \boldsymbol{\gamma}_n$ , et le vecteur (image) moyen est  $\boldsymbol{\varphi}$ . La différence entre une image et la moyenne est notée  $\boldsymbol{\psi}_i = \boldsymbol{\gamma}_i - \boldsymbol{\varphi}$ .

L'ACP est appliquée sur ces vecteurs, elle permet d'obtenir p vecteurs propres orthonormés (eigenvectors)  $\mu_k$  et autant de valeurs propres (eigenvalues)  $\lambda_k$  à partir de la matrice de covariance :

$$C = \frac{1}{n} \sum_{i=1}^{n} \psi_i \psi_i^T = AA^T$$

où  $\mathbf{A} = [\psi_1 \psi_2 \psi_3 ... \psi_n]$  (taille mxn), et  $\mathbf{A} \mathbf{A}^T \boldsymbol{\mu} = \lambda \boldsymbol{\mu}$  (vecteurs propres)

#### Remarque:

les  $\gamma$ . sont des vecteurs de dimension = le nombre de pixels de l'image (ex :  $1000x1000=10^6$  donc C est de dimension  $m=10^6x10^6$ )

La matrice  $\mathbf{C}$  étant grande, on utilise une astuce technique en calculant valeurs et vecteurs propre sur  $\mathbf{C}^{\mathsf{T}}$ .

 $\mathbf{C}^{\mathsf{T}}$  est de taille nxn << mxm

 $\mathbf{C}^T = \mathbf{A}^T \mathbf{A}$ , a pour vecteurs propres  $\mathbf{v}_k$  et pour valeurs propres  $\boldsymbol{\xi}_k$ . On se ramène à  $\mu_k$  et  $\lambda_k$  par :

$$\lambda_k = A^T A$$
, a pour vecteurs propres  $\lambda_k$  et po  
 $\lambda_k = A^T A$ , a pour vecteurs propres  $\lambda_k$  et po  

$$\mu_k = \frac{A V_k}{\sqrt{\xi_k}}$$

$$\lambda_k = \xi_k$$

Demo:

 $A^TAv = \xi v$  par définition (v.p.)

 $AA^{T}(Av)=\xi(Av)$  par identification à  $AA^{T}\mu=\lambda \mu$ :

- $\xi$ = $\lambda$  et
- **Av=**μ mais non normalisés.

#### Phase de test

L'image courante ( $\gamma_i$ ) contenant les objets de premier plan peut être approximée par le fond moyen ( $\varphi$ ) et la somme pondérée des eigenbackgrounds  $\mu_k$ .

On utilise pour cela la matrice des eigenbackgrounds

 $\Delta = [\mu_1, \mu_2, \mu_3, ..., \mu_p]$ , et les poids dans l'espace des eigenbackgrounds de l'image  $\gamma_i$  est calculée par :

$$w = (\gamma_i - \varphi)^T \Delta$$

**w** est rétroprojeté dans l'espace image pour créer une image de fond de référence :

$$\gamma_i^R = \Delta w^T + \varphi$$

Comme la matrice des eigenbackground  $\gamma_i^R$  représente le fond (et donc pas les détails) les petits objets en mouvement n'y figurent pas.

#### **Detection de l'avant plan (foreground)**

Il suffit de calculer la différence entre l'image courante et l'image de fond reconstruite pour obtenir les objets en mouvement et de seuiller :

$$\left| \gamma_i - \gamma_i^R \right| > T$$

 $\gamma_i$  Image courante

 $\gamma_i^R$  Image reconstruite

https://www.youtube.com/watch?

v=4c1lLY3ta08



DPEigenbackgroundBGS

Frame n. 1179

#### Bibliographie

- [Wren 1997] C. Wren, A. Azarbayejani, T. Darrell, A. Pentland, "Pfinder: Real-Time Tracking of the Human Body", IEEE Transactions on Pattern Analysis and Machine Intelligence, Volume 19, No. 7, pages 780 –785, July 1997.
- [Stauffer 1999] C. Stauffer, E. Grimson, "Adaptive background mixture models for real-time tracking", Proceedings IEEE Conference on Computer Vision and Pattern Recognition (CVPR 1999), pages 246-252, 1999.
- [Elgammal 2000] A. Elgammal, D. Harwood, L. Davis, "Non-parametric Model for Background Subtraction", 6th European Conference on Computer Vision (ECCV 2000), Dublin, Ireland, June 2000.
- [Oliver 2000]- N. Oliver, B. Rosario, A. Pentland, "A Bayesian Computer Vision System for Modeling Human Interactions", PAMI Special Issue on Visual Surveillance and Monitoring, PAMI 2000, August 2000.